



# БИООРГАНИЧЕСКАЯ ХИМИЯ

Том 17 \* № 9 \* 1991

УДК 577.114/115.5

© 1991 г.

*К. Ю. Гордеев, В. А. Ненашев, В. И. Моргунова,  
Н. В. Демидова, Т. А. Цоцория\*, Г. Я. Дараселия\*,  
С. Г. Батраков*

## МИКОЛОАТЫ ГЛЮКОЗЫ И ТРЕГАЛОЗЫ ИЗ ШТАММА *RHODOCOSCUS* sp.: ВЫДЕЛЕНИЕ, СТРОЕНИЕ И ДЕЙСТВИЕ НА ДЫХАНИЕ МИТОХОНДРИЙ

Научно-исследовательская лаборатория биологически активных веществ гидробионтов  
МЗ СССР, Москва;

\*Институт биохимии растений АН ГССР, Тбилиси

Фракция бесфосфорных гликолипидов штамма *Rhodococcus* sp. (*Mycobacterium rubrum* BKM B-874 var. 44) состоит из 6,6'-ди- и 6-моно-O-миколоил- $\alpha,\alpha$ -D-трегалоз и 6-O-миколоил-D-глюкопиранозы, на долю которых в заключительной стационарной фазе роста культуры приходится 1,4, 11,4 и 5,7% соответственно суммы экстрагируемых липидов клеток. В структурах гликолипидов преобладают остатки моноеновых миколовых кислот с 40, 42, 44 и 46 атомами углерода в углеродном скелете с двойной связью, расположенной при 9-, 11-, 13-, 15- или 17-м атоме углерода от концевой метильной группы основной цепи, и насыщенными боковыми цепями  $C_{10}$ ,  $C_{12}$  и  $C_{14}$ . Все три гликолипида разобщают окисление и фосфорилирование в митохондриях *in vitro*, подавляют дыхание митохондрий при использовании малата и пирувата в качестве субстрата, но ускоряют его при использовании сукцинатов в отсутствие акцептора фосфата. В этом отношении 6-O-миколоил-D-глюкопираноза существенно отличается от соответствующих метилгликазидов, изучавшихся ранее.

Исследование специфических липидов бактерий семейства *Mycobacteriaceae* имеет более чем 30-летнюю историю. За это время выделена и охарактеризована в отношении химического строения обширная группа уникальных липидов, а у некоторых из них обнаружена высокая физиологическая активность (см. обзоры [1—6]). Работы в этой области проводились главным образом с представителями родов *Mycobacterium* и *Noocardia* и в значительно меньшем масштабе с коринебактериями. Из организмов рода *Rhodococcus* пока изучено в рассматриваемом аспекте всего лишь несколько штаммов, принадлежащих к видам *R. erythropolis* (см. [7—13] и сообщения, цитированные в этих работах \*) и *R. terrae* [14, 15], причем наиболее детально изучены культуры *R. erythropolis*, выращенные на средах, включающих в себя углеводороды как единственный источник углерода.

В исследованных родококках большую часть бесфосфорных специфических липидов составляли жирнокислотные эфиры сахаров (ЖКЭС). Во всех штаммах в числе основных ЖКЭС, а в большинстве штаммов доминирующими были 6,6'-ди-O-миколоаты  $\alpha,\alpha$ -D-трегалозы (I), в качестве минорных ЖКЭС присутствовали 6-моно-O-миколоаты (II) того же дисахарида. Одна из особенностей состава ЖКЭС культуры *R. terrae*, растущей на среде с глюкозой, заключалась в наличии значительного количества миколоатов глюкозы и их производных [15], которые не обнаружены в штаммах *R. erythropolis*, культивируемых на углеводородах. Строение этих гликолипидов не установлено. Следует добавить, что димиколоаты трегалозы (I) найдены практически у всех микроорганизмов

Сокращения: МЭМК — метиловые эфиры миколовых кислот, ЖКЭС — жирнокислотные эфиры сахаров.

\* Штамму *M. paraffinicum* 134, служившему объектом исследования в ряде работ, в настоящее время присвоено наименование *R. erythropolis* BKM Ac-1261 D.

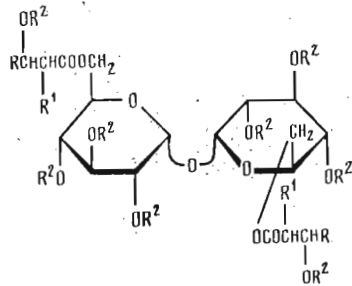
семейства *Mycobacteriaceae*, в достаточной степени изученных в отношении липидного состава, а в липидах некоторых штаммов наряду с ними обнаружены мономиколоаты (II) [2–6]. Показано также, что отдельные представители семейства при культивировании на средах с высокой концентрацией моно-, ди- и трисахаридов синтезируют миколоильные эфиры этих углеводов, которые иногда становятся основными гликолипидами клеток [2, 4, 5]. В частности, из клеток *Corynebacterium diphtheriae*, *M. smegmatis*, *M. bovis* BCG [16], *Arthrobacter* sp. \* [18] и *Brevibacterium thiogenitalis*\* [19], растущих на средах с глюкозой, выделены миколоаты последней, которым приписано строение 6-О-миколоил- $D$ -глюкопираноз (III). У эфиров трегалозы (I) и (II) выявлена высокая токсичность для лабораторных животных, которую объясняют способностью гликолипидов нарушать транспорт электронов в митохондриях [4, 5, 20]. Миколоат глюкозы из *R. terrae* также оказался токсичным [15], но его активность в отношении митохондрий, равно как и активность миколоатов (III), не изучалась, однако исследовались в этом аспекте метил-6-О-миколоил- $\alpha$ - и  $\beta$ - $D$ -глюкопиранозиды (IVa, б), полученные полусинтетическим путем [20–23].

В настоящем сообщении описываются результаты исследования состава ЖКЭС штамма *Rhodococcus* sp. (*M. rubrum* BKM B-874 var. 44), культивируемого на среде, содержащей глюкозу и сахарозу, а также представлены результаты сравнительного изучения воздействия на дыхание митохондрий миколоатов (I)–(III) трегалозы и глюкозы, выделенных из этого организма.

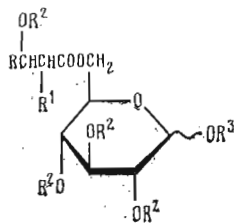
Анализ клеточных липидов родококка, экстрагированных смесями хлороформа и метанола, при помощи ТСХ привел к выводу о присутствии в клетках как минимум трех бесфосфорных гликолипидов. Каждый из них был получен в виде индивидуальной фракции ранее описанным методом [7]. Два гликолипида охарактеризованы как 6,6'-ди- и 6-моно-О-миколоил- $\alpha$ , $\alpha$ - $D$ -трегалозы (I и II). При ТСХ и ВЭЖХ они имели одинаковую подвижность с одноименными липидами из *R. erythropolis* BKM Ac-1261 D (*M. paraffinicum* 134) [7–9]. окончательно их строение подтверждено в результате масс-спектрометрии пер-О-ацетильных (Ia и IIa) и пер-О-тридейтероацетильных ( $d_{24}$ -Ia и  $d_{24}$ -IIa) производных, анализа продуктов щелочного и кислотного метанолиза, продуктов деградации по Смиту и сопоставления полученных данных с соответствующими опубликованными данными [8, 9]. При кислотном гидролизе мономиколоата трегалозы (II) в мягких условиях основными продуктами оказались глюкоза и липофильное вещество, не отличающееся по подвижности при ТСХ и ВЭЖХ от третьего выделенного гликолипида. По этой причине, а также по аналогии с вышеупомянутыми миколоатами глюкозы (III) из других микроорганизмов третьему гликолипиду предварительно была приписана структура 6-О-миколоил- $D$ -глюкопиранозы (III). Представленные ниже результаты дальнейшего исследования липида полностью подтверждают ее.

В условиях кислотного метанолиза гликолипид распадался на аномерные метилглюказиды и метиловые эфиры миколовых кислот (МЭМК, Va), а при щелочном метанолизе — на глюкозу и МЭМК; в обоих метанолизатах присутствовали также небольшие количества продуктов дегидратации МЭМК. Перечисленные продукты деградации идентифицированы при помощи ТСХ и ВЭЖХ, для идентификации МЭМК дополнительно использовали ИК-спектроскопию (характерная полоса  $\nu_{C=O}$  с максимумом около  $1730\text{ cm}^{-1}$  [5, 8]) и масс-спектрометрию (см. ниже). Поскольку в условиях указанных реакций возможны изменения нативной структуры миколовых кислот [5, 24–26], помимо дегидратации, связанной с  $\beta$ -элиминированием, для достоверного определения состава миколоильных остатков гликолипида последний гидролизовали панкреатической липазой [27]. Свободные миколовые кислоты (V), единственный лиофильный

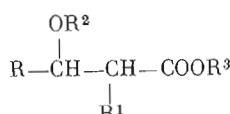
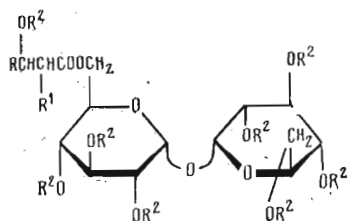
\* Систематическое положение этих организмов нуждается в пересмотре, так как, согласно современной классификации, бактерии, синтезирующие миколовые кислоты, объединены в семейство *Mycobacteriaceae*, в которое роды *Arthrobacter* и *Brevibacterium* не входят [17].



(I)  $R^2 = H$   
(Ia)  $R^2 = COCH_3$   
( $d_{24}$ -Ia)  $R^2 = COC^2H_3$



(III)  $R^2 = R^3 = H$   
(IIIa)  $R^2 = R^3 = COCH_3$   
( $d_{15}$ -IIIa)  $R^2 = R^3 = COC^2H_3$   
(IV)  $R^2 = H, R^3 = CH_3$   
a:  $\alpha$ -аномер; б:  $\beta$ -аномер



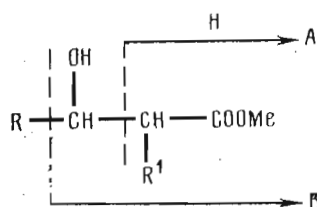
(II)  $R^2 = H$   
(IIa)  $R^2 = COCH_3$   
( $d_{24}$ -IIa)  $R^2 = COC^2H_3$

(V)  $R^2 = R^3 = H$   
(Va)  $R^2 = H, R^3 = CH_3$   
( $d_3$ -Va)  $R^2 = H, R^3 = C^2H_3$   
(Vб)  $R^2 = COCH_3, R^3 = CH_3$

Везде  $R$  — углеводородный остаток  $C_{15}-C_{66}$ ;  $R^1$  —  $n$ -алкил или алкенил  $C_8-C_{24}$

продукт гидролиза, превращали в МЭМК (Va) действием диазометана и подвергали масс-спектрометрическому анализу (здесь и далее для иони-

Схема 1



(Va)

**Основные пики в масс-спектрах МЭМК (Va) и соответствующих тридайтерометиловых эфиров ( $d_3$ -Va), полученных из 6-O-миколоил-*D*-глюкопиранозы (III)**

$m/z$ по спектру Va	$I_{\text{отн.}} \%$	Тип иона	$m/z$ по спектру $d_3$ -Va	Примечание
713	1,6	$M_1 - HO^+$	716	48 : 2 *
699	1,4	$M_1 - MeO^+$	699	48 : 2
687	9,8	$M_2 - HO^+$	690	46 : 1
685	4,2	$M_3 - HO^+$	688	46 : 2
681	2,0	$M_1 - H_2O - MeO^+$	681	48 : 2
673	6,5	$M_2 - MeO^+$	673	46 : 1
671	3,3	$M_3 - MeO^+$	671	46 : 2
659	17	$M_4 - HO^+$	662	44 : 1
657	4,6	$M_5 - HO^+$	660	44 : 2
655	6,2	$M_2 - H_2O - MeO^+$	655	46 : 1
653	3,1	$M_3 - H_2O - MeO^+$	653	46 : 2
645	7,4	$M_4 - MeO^+$	645	44 : 1
643	2,6	$M_5 - MeO^+$	643	44 : 2
631	15	$M_6 - HO^+$	634	42 : 1
627	8,3	$M_4 - H_2O - MeO^+$	627	44 : 1
625	3,6	$M_5 - H_2O - MeO^+$	625	44 : 2
617	5,8	$M_6 - MeO^+$	617	42 : 1
603	11	$M_7 - HO^+$	606	40 : 1
599	7,3	$M_6 - H_2O - MeO^+$	599	42 : 1
589	6,1	$M_7 - MeO^+$	589	40 : 1
577	2,0	$M_8 - HO^+$	580	38 : 0
575	2,5	$M_9 - HO^+$	578	38 : 1
571	6,6	$M_7 - H_2O - MeO^+$	571	40 : 1
563	1,2	$M_8 - MeO^+$	568	38 : 0
561	1,6	$M_9 - MeO^+$	561	38 : 1
545	1,2	$M_8 - H_2O - MeO^+$	545	38 : 0
543	1,4	$M_9 - H_2O - MeO^+$	543	38 : 1
299	45	B	302	14 **
271	83	B	274	12
270	100	A	273	14
243	38	B	246	10
242	83	A	245	12
214	19	A	217	10

\* Для ионов  $[M - HO]^+$ ,  $[M - MeO]^+$  и  $[M - H_2O - MeO]^+$  указывается «число углеродных атомов: число двойных связей» в соответствующих миколовых кислотах; каждому пику иона  $[M - HO]^+$  сопутствует пик иона  $[M - H_2O]^+$ , интенсивность которого составляет 70–85% интенсивности первого.

\*\* Для ионов A и B указывается число углеродных атомов в боковой цепи ( $R^1$ ).

зации применяли электронный удар). Параллельно анализировали соответствующие тридайтерометиловые эфиры ( $d_3$ -Va).

Распад МЭМК при ионизации электронным ударом описан в ряде сообщений (см., например, [28, 29]), основные направления фрагментации демонстрирует схема 1.

В масс-спектре полученных МЭМК (Va) (табл. 1) наиболее интенсивные пики принадлежат ионам типа A и B; их массовые числа показывают, что боковые цепи в молекулах компонентов смеси насыщены и содержат 10, 12 или 14 атомов углерода ( $R^1 = C_{10}H_{21}$ ,  $C_{12}H_{25}$  или  $C_{14}H_{29}$ ). В спектре дейтероаналогов ( $d_3$ -Va) пики ионов A и B смешены на 3 а. е. м., что подтверждает сделанное отнесение. Наибольшие массовые числа в спектре МЭМК (Va) имеют ионы  $[M - HO]^+$ ,  $[M - H_2O]^+$  (см. примечание 1 к табл. 1),  $[M - MeO]^+$  и  $[M - H_2O - MeO]^+$ . Пики двух первых смешены в масс-спектре тридайтерометиловых эфиров ( $d_3$ -Va) на 3 а. е. м., а двух последних сохраняют свое положение. На основании величин  $m/z$  этих ионов можно сделать вывод, что микколипидные остатки, входящие в структуры компонентов гликолипидной фракции, содержат четное число атомов углерода (от 38 до 48), а среди них преобладают молекулярные виды с одной двойной связью в основной цепи (R) и общим числом углеродных атомов 40, 42, 44 и 46. К такому же выводу привели результаты фракционирования 3-O-

Таблица 2

## Основные пики в масс-спектре триметилсилильных производных (VIIa)

<i>m/z</i>	<i>I<sub>отн.</sub></i> , %	Тип иона	Примечание*	<i>m/z</i>	<i>I<sub>отн.</sub></i> , %	Тип иона	Примечание*
954	0,1	<i>M</i> <sup>+</sup>	46	600	14	<i>F</i>	20
939	0,8	<i>M</i> — Me <sup>·</sup>	46	599	21	<i>D</i>	22
926	0,2	<i>M</i> <sup>+</sup>	44	371	12	<i>E</i>	14
911	2,2	<i>M</i> — Me <sup>·</sup>	44	343	54	<i>E</i>	12
898	0,3	<i>M</i> <sup>+</sup>	42	342	46	<i>G</i>	14
883	2,4	<i>M</i> — Me <sup>·</sup>	42	327	41	<i>C</i>	15
870	0,3	<i>M</i> <sup>+</sup>	40	315	80	<i>E</i>	10
855	2,4	<i>M</i> — Me <sup>·</sup>	40	314	100	<i>G</i>	12
684	6,2	<i>F</i>	26	299	75	<i>C</i>	13
683	9,1	<i>D</i>	28	286	84	<i>G</i>	10
656	13	<i>F</i>	24	271	88	<i>C</i>	11
655	18	<i>D</i>	26	243	26	<i>C</i>	9
628	13	<i>F</i>	22	215	94	<i>C</i>	7
627	19	<i>D</i>	24				

\* Для ионов *M*<sup>+</sup> и [M — Me<sup>·</sup>]<sup>+</sup> указывается общее число углеродных атомов в углеродном скелете (*k* + *l* + *m* + 7), для ионов *C* — *k*, для ионов *D* — (*l* + *m*), для ионов *F* — (*k* + *l*), для ионов *E* и *G* — *m*.

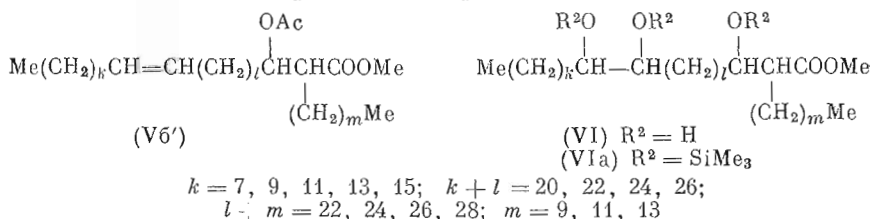
Таблица 3

Основные пики в масс-спектрах перв-О-ацетата (IIIa) и перв-О-тридейтероацетата (*d*<sub>15</sub>-IIIa) 6-O-миколоил-D-глюкопиранозы

<i>m/z</i> по спектру IIIa	<i>I<sub>отн.</sub></i> , %	Тип иона *	<i>m/z</i> по спектру <i>d</i> <sub>15</sub> -IIIa	<i>m/z</i> по спектру IIIa	<i>I<sub>отн.</sub></i> , %	Тип иона *	<i>m/z</i> по спектру <i>d</i> <sub>15</sub> -IIIa
969	0,08	<i>H</i> <sub>1</sub>	978	757	0,11	<i>J</i> <sub>7</sub>	760
943	0,32	<i>H</i> <sub>2</sub>	952	681	0,70	<i>J</i> <sub>1</sub>	681
941	0,26	<i>H</i> <sub>3</sub>	950	655	1,4	<i>J</i> <sub>2</sub>	655
915	0,42	<i>H</i> <sub>4</sub>	924	653	1,0	<i>J</i> <sub>3</sub>	653
913	0,11	<i>H</i> <sub>5</sub>	922	627	1,7	<i>J</i> <sub>4</sub>	627
887	0,25	<i>H</i> <sub>6</sub>	896	625	0,70	<i>J</i> <sub>5</sub>	625
859	0,35	<i>H</i> <sub>7</sub>	868	599	1,2	<i>J</i> <sub>6</sub>	599
841	0,12	<i>I</i> <sub>2</sub>	844	561	1,4	<i>J</i> <sub>7</sub>	561
839	0,08	<i>I</i> <sub>3</sub>	842	535	0,35	<i>J</i> <sub>8</sub>	535
833	0,07	<i>H</i> <sub>8</sub>	842	533	0,32	<i>J</i> <sub>9</sub>	533
831	0,06	<i>H</i> <sub>9</sub>	840	331	85	<i>K</i>	343
813	0,16	<i>I</i> <sub>4</sub>	816	211	100	<i>L</i>	217
811	0,06	<i>I</i> <sub>5</sub>	814	169	55	<i>M</i>	173
785	0,12	<i>I</i> <sub>6</sub>					

\* Ионам *H*, *I* и *J*, образующимся из одного и того же молекулярного иона, дан одинаковый подстрочный индекс, который соответствует индексу при «М» в табл. 1.

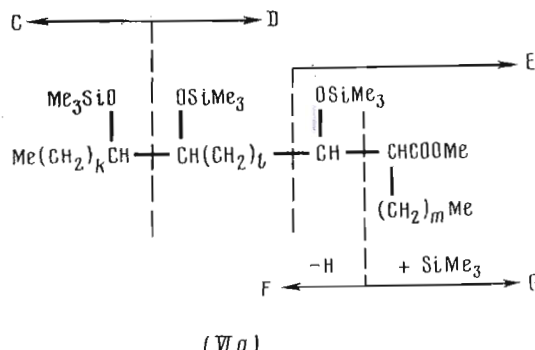
ацетатов МЭМК (Vб) на аргентированном силикагеле и данные масс-спектров полученных субфракций. Субфракция моноеновых соединений (Vб') составила 80% исходной суммы ацетатов (Vб), а ее главные компоненты содержали 40—46 атомов углерода в углеродном скелете. На долю насыщенных и дieneовых молекулярных видов приходилось 3 и 10% соответственно.



Для определения положений двойной связи в молекулах моноеновых миколовых кислот субфракцию моноеновых 3-О-ацетатов (Vб') окисляли осмиевым ангидридом, продукты реакции дезацетилировали в условиях щелочного метанолиза и образовавшиеся тригидроксииэфиры (VI) анализи-

ровали методом масс-спектрометрии в виде триметилсилильных производных (VIa). В области наибольших массовых чисел спектра (табл. 2, схема 2) регистрируются молекулярные ионы незначительной интенсивности, которые соответствуют компонентам фракции (VIa) с 40, 42, 44 и 46 атомами углерода в углеродном скелете. Основные диагностические ионы — С и D (их пики входят в число наиболее интенсивных в области  $m/z > 150$ ) — возникают в результате разрыва связи между С-атомами, несущими вицинальные  $\text{Me}_3\text{SiO}$ -группы (ср. [30]). Массовые числа этих фрагментов позволяют заключить, что в доминирующих моноеновых миколовых кислотах двойная связь расположена при 9-, 11-, 13-, 15- или 17-м углеродном атоме от терминальной метильной группы основной цепи (R).

Схема 2



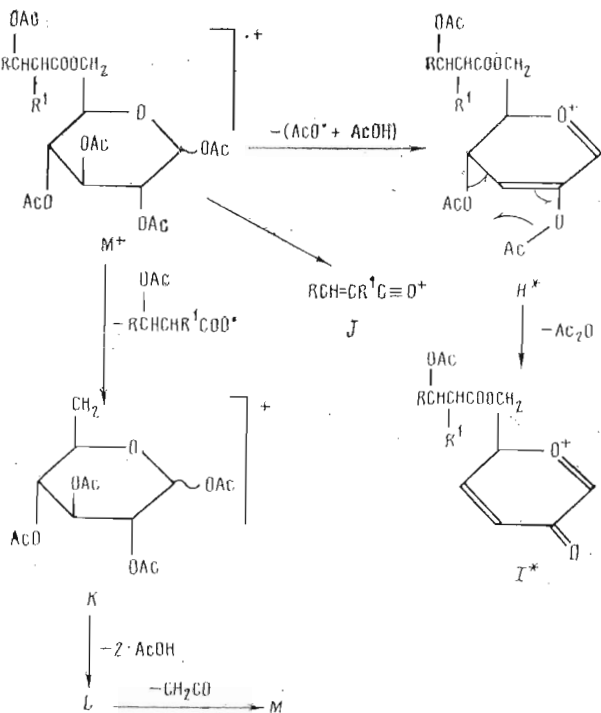
(VIa)

Аналогичным образом анализировали состав микелоильных остатков в выделенных микелоатах трегалозы (I) и (II). Полученные результаты практически не отличались от вышеописанных. Заметим, что для бактерий семейства *Mycobacteriaceae* число углеродных атомов в синтезируемых ими миколовых кислотах — один из важнейших хемотаксономических признаков; в частности, для родококков характерны миколовые кислоты с 30–60 атомами углерода [11, 17, 31].

Дальнейшую информацию о строении гликолипида дали масс-спектры его пер-О-ацетильного (IIIa) и пер-О-тридейтероацетильного ( $d_{15}$ -IIIa) производных (табл. 3). Главные направления распада этих соединений под электронным ударом (схема 3) совпадают в основном с таковыми, характерными для пер-О-ацетатов ди- и моно-О-микелоатов трегалозы (Ia) и (IIa) [7, 9, 32]. В области наибольших массовых чисел масс-спектра производных (IIIa) присутствуют пики ионов  $[M - \text{AcOH} - \text{AcO}]^+$  (H). Для доминирующих молекулярных видов гликолипидной фракции хорошо различимы пики ионов  $[M - \text{AcOH} - \text{Ac}_2\text{O} - \text{AcO}]^+$  (I). В спектре дейтероаналогов ( $d_{15}$ -IIIa) массовые числа ионов первой группы возрастают на 9 а. е. м., а второй — на 3 а. е. м. Область  $m/z$  600—700 содержит серию пики ацильных фрагментов (J). Массовые числа всех рассмотренных ионов полностью соответствуют величинам  $m/z$  ионов  $[M - \text{HO}]^+$  ( $[M - \text{H}_2\text{O}]^+$ ), которые регистрировались при масс-спектрометрии МЭМК (Va) (табл. 1). Максимальную интенсивность в спектре пер-О-ацетата (IIIa) имеет пик «углеводного» фрагмента (K). Смещение его на 12 а. е. м. в спектре пер-О-тридейтероацетата, во-первых, подтверждает происхождение этого иона, а во-вторых, свидетельствует о том, что в глюкозном остатке липида замещена только одна гидроксильная группа. Таким заместителем, очевидно, является остаток миколовой кислоты.

Представленные выше данные не позволяют сделать однозначный вывод о расположении микелоильного остатка и размере углеводного цикла. Для выяснения этих элементов структуры гликолипид подвергали расщеплению по Смиту по ранее описанной методике [33] (схема 4). Липофильная фракция (VII) продуктов деградации при ТСХ мигрировала в виде единственного пятна (зоны). Эту фракцию обрабатывали тритил-

Схема 3



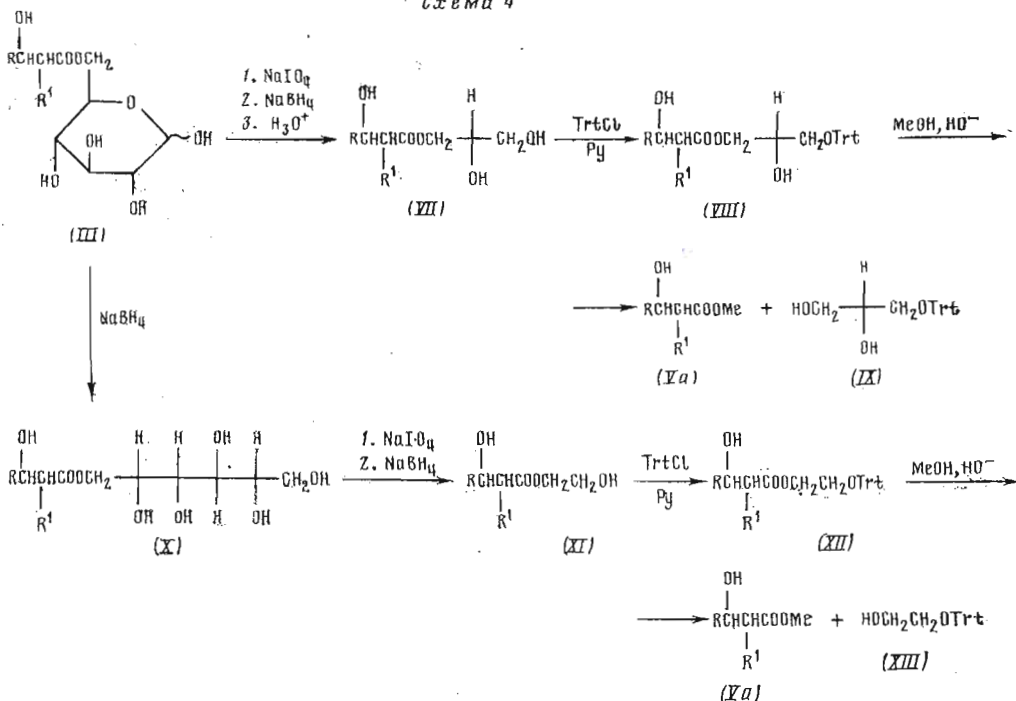
\* Для ионов Н и I приведена одна из возможных структур.

хлоридом  $\text{V}$  в пиридине при  $20^\circ\text{C}$ , а полученное тритильное производное ( $\text{VIII}$ ) подвергали щелочному метанолизу. В результате образовались два продукта, которые идентифицированы при помощи ТСХ и ВЭЖХ как МЭМК ( $\text{Va}$ ) и тритилглицерин ( $\text{IX}$ ) (ср. [9]). Отсюда вытекает, во-первых, что в молекуле нативного липида миколоильный остаток связан с первичной кислородной функцией глюкозного остатка (при С6), а во-вторых, что последний имеет пиранозный цикл. Первый вывод подтверждается результатами следующих превращений (схема 4): восстановление гликолипида боргидридом натрия, расщепление по Смиту образовавшегося миколоил-сorbita ( $\text{X}$ ), тритилирование липофильного продукта деградации — 2-миколоилоксиэтанола-1 ( $\text{XI}$ ) в вышеуказанных условиях и щелочной метанолиз тритильного производного ( $\text{XII}$ ) привели к МЭМК ( $\text{Va}$ ) и 2-тритилоксиэтанолу-1 ( $\text{XIII}$ ).

Таким образом, третий гликолипид, выделенный из клеток родококка, представляет собой 6-O-миколоил-D-глюкопиранозу ( $\text{III}$ ). Отнесение моносахаридного остатка к D-ряду сделано на основании сопоставления величин молекулярного оптического вращения обсуждаемого гликолипида ( $\text{III}$ ), аналогичных гликолипидов, описанных ранее другими авторами, и метилгликозидов ( $\text{IVa}, \text{b}$ ) (табл. 4). Те же данные указывают на преимущественную  $\alpha$ -конфигурацию аномерного центра в выделенной миколоилглюкопиранозе ( $\text{III}$ ).

Из вышеизложенного следует, что фракция ЖКЭС в изучавшемся штамме *Rhodococcus* sp. состоит из 6,6'-ди- и 6-моно-O-миколоатов  $\alpha, \alpha$ -D-трегалозы ( $\text{I}$  и  $\text{II}$ ) и 6-O-миколоил-D-глюкопиранозы ( $\text{III}$ ). Они обнаружены в клетках на всех стадиях роста культуры, однако максимальное содержание их достигается в заключительной стационарной фазе — 1,1, 8,9 и 4,5 мг на 1 г сухих клеток, или 1,4, 11,4 и 5,7% суммы экстрагируемых липидов соответственно. Как и следовало ожидать, все три гликолипида оказались токсичными для мышей и крыс [34], хотя и в меньшей степени, чем трегалозолипиды типа соединений ( $\text{I}$ ) и ( $\text{II}$ ) из микобактерий.

Схема 7



$\text{R}, \text{R}^1$  — алкильные остатки.

Известно [4, 5, 20—23], что действие димиколоатов трегалозы (I) и некоторых их природных и полусинтетических аналогов на митохондрии проявляется, в частности, в подавлении дыхания и фосфорилирования, снижении дыхательного контроля и разобщении окисления и фосфорилирования. В связи с этим в настоящей работе определяли влияние ЖКЭС (I)—(III) из *Rhodococcus* sp. на скорость поглощения кислорода ( $V$ ) супензии митохондрий в трех состояниях: 1) при наличии в супензии только субстрата — малата с пируватом или сукцинатом (с добавлением ротенона) ( $V_4$ ); 2) в присутствии акцептора фосфата — ADP ( $V_3$ ); 3) в присутствии 2,4-динитрофенола (DNP) — разобщителя окислительного фосфорилирования ( $V_{DNP}$ ).

При использовании NAD-зависимого субстрата (малат + пируват) все три гликолипида подавляли дыхание (табл. 5), причем величина эффекта возрастала со временем. Аналогичную картину наблюдали другие авторы при изучении действия димиколоатов трегалозы (I) и структурно родственных липидов и объясняли ее медленным включением этих веществ в митохондриальную мембрану [35, 36]. Скорость дыхания митохондрий на сукцинате, наоборот, увеличивалась гликолипидами (I)—(III), откуда следует, что торможение транспорта электронов в первом случае происходит на участке цепи переноса, предшествующем включению электронов от сукцината в общую цепь, т. е. на участке NADH-дегидрогеназа — убихинон. Ускорение окисления сукцината может быть связано с активацией транспорта протонов через митохондриальную мембрану и сопряженного с ним транспорта электронов по цепи. Такой механизм ускорения дыхания имеет место при действии агентов, разобщающих окисление и фосфорилирование, например 2,4-динитрофенола. В этом случае одновременно падает скорость фосфорилирования, что проявляется в снижении скорости дыхания в присутствии акцептора фосфата — ADP ( $V_3$ ) и падении дыхательного контроля ( $V_3/V_4$ ). Соответствующие измерения показали (табл. 5), что ЖКЭС (I)—(III) родококка снижают величину  $V_3/V_4$  до 1 и менее при использовании субстратов обоих видов, т. е. они не только ингибируют транспорт электронов на участке NADH-дегидрогеназа — убихинон, но и разобщают окисление и фосфорилирование.

Таблица 4

**Оптическое вращение 6-О-миколоат-*D*-глюкопираноз (III) и соответствующих метилгликозидов (IVа, б)**

Миколоаты	Источник получения	$[\alpha]_D$ , град	$[M]_D^*$ , град	Литература
III	<i>Rhodococcus</i> sp.	+33,4	+270	**
III	<i>C. diphtheriae</i>	+26,4	+185	[16]
III	<i>M. smegmatis</i>	+20,7	+290	[16]
IVа	Синтез	+22,5	+327	[21]
IVб	"	-6,5	-94	[22]

\* При вычислении  $[M]_D$  в расчет принимался «средний молекулярный вес» гликолипидной фракции, найденный исходя из состава миколоильных остатков гликолипида.

\*\* Данные настоящей работы.

Таблица 5

**Действие миколоатов сахаров на скорость дыхания ( $V_4$ ) и дыхательный контроль ( $V_3/V_4$ ) митохондрий**

Миколоат	Источник получения	Субстрат						Литература	
		Сукцинат		Малат + пируват		Количество миколоата, мкг/мг белка митохондрий	$V_4$ , %		
		Количество миколоата, мкг/мг белка митохондрий	$V_4$ , %	Количество миколоата, мкг/мг белка митохондрий	$V_4$ , %				
I	<i>Rhodococcus</i> sp.	0	100	2,9	0	100	1,9	*	
		25	185	1,0	100	56	<1		
II	»	0	100	2,9	0	100	1,9	*	
		20	210	1,0	100	29	<1		
III	»	0	100	3,1	0	100	2,2	*	
		25	180	1,1	80	26	<1		
I	<i>M. tuberculosis</i> H37Rv	0	100	3,1	0	100	2,2	[35]	
		100	227	1,1	100	54	1,3		
IVа	Синтез	0	100	2,7	0	100	3,0	[21]	
		25	105	2,6	25	105	2,5		
IVб	»	100	104	2,5	100	100	1,5		
		0	100	2,9	0	100	3,0	[22]	
		25	104	2,9	25	124	2,0		
		100	117	2,7	100	110	1,4		

\* Данные настоящей работы;  $V_3$  и  $V_4$  измеряли через 10 мин после введения гликоглицидов в суспензию митохондрий при использовании малата с пируватом в качестве субстрата и через 5 мин при использовании сукцината.

Все три гликоглицида (I)–(III), внесенные в суспензию митохондрий в количестве 100 мкг/мг белка, подавляли возрастание скорости дыхания, вызываемое DNP: индекс разобщения ( $V_{DNP}/V_4$ ) в присутствии гликоглицидов снижался до 1 и менее. Такой же эффект дают высокие концентрации динитрофенола, ингибирующие перенос протонов через мембрану [37]. Поэтому можно предположить совместное воздействие ЖКЭС (I–III) и динитрофенола на транспорт протонов. Однако, с другой стороны, нельзя исключить и прямое блокирование гликоглицидами цепи переноса электронов.

Из вышеизложенного следует, что миколоат глюкозы (III) действует на дыхание митохондрий подобно миколоатам трегалозы (I и II), наблюдаются лишь некоторые различия в величине эффектов. Интересно сопоставить в этом аспекте гликоглициды (III) и соответствующие метилгликозиды (IVа, б), полученные полусинтетическим путем на основе миколовых кислот из *M. tuberculosis* H37Rv [21, 22]. В отсутствие акцептора фосфата (ADP) гликозиды (IVа, б) не влияют на скорость дыхания при использовании как пирувата с малатом, так и сукцината (табл. 5). В присутствии ADP они активно подавляют окисление NAD-зависимого субстрата (пируват + малат), но лишь в малой степени замедляют дыхание на сукцинате. Иными словами, небольшое изменение структуры миколоата глюкопиранозы

(III), каковым является метилирование полуацетального гидроксила, существенно отражается на его активности в отношении дыхания митохондрий. С другой стороны, наличие этого гидроксила совсем не обязательно для проявления всех сторон активности, что достаточно очевидно хотя бы из результатов исследования миколоатов трегалозы (I и II), представленных в настоящем сообщении и в работах других авторов [4, 5, 20, 23].

### Экспериментальная часть

*Общие методы.* ТСХ при анализе липофильных веществ проводили на пластинах ( $10 \times 10$  или  $10 \times 5$  см) с силикагелем G 60 (Merck, ФРГ) в системах: гексан — эфир, 9 : 1\* (система 1), 4 : 1 (2) и 1 : 2 (3), гексан — эфир — AcOH, 85 : 15 : 1 (4), бензол — диоксан, 10 : 1 (5), CHCl<sub>3</sub> — MeOH — вода, 80 : 20 : 2 (6) и 65 : 25 : 4 (7). Вещества на хроматограммах обнаруживали неспецифическим способом — обугливанием с H<sub>2</sub>SO<sub>4</sub> при  $\sim 200^\circ\text{C}$ , а также специфическими реагентами [38]: антроновым реагентом и периодатом — реагентом Шиффа (на производные углеводов), молибденовой синью (на фосфолипиды), нингидриновым реагентом (на группу NH<sub>2</sub>) и хлор-бензидиновым реагентом (на группу N—H). ТСХ углеводов осуществляли на тех же пластинах, импрегнированных 0,5 M раствором Na<sub>2</sub>HPO<sub>4</sub>, в системе ацетон — изопропанол — 0,1 M лимонная кислота, 2 : 2 : 1, а также на пластинах с силикагелем GHPTLC (Merck), импрегнированных 0,15 M NaH<sub>2</sub>PO<sub>4</sub>, в системе n-BuOH — ацетон — вода, 4 : 5 : 1, и на пластинах с целлюлозой (Merck) в системе n-BuOH — AcOH — вода, 3 : 1 : 1. Вещества на хроматограммах обнаруживали периодатом — реагентом Шиффа и аммиакатом серебра [38].

ВЭЖХ проводили на хроматографе «Милихром», снабженном колонкой ( $2 \times 50$  мм) и УФ-детектором, в изократическом режиме. При анализе свободных микровальных кислот, гликолипидов и других полярных липидов в качестве сорбента использовали силикагель Silasorb 600, 5 мкм (Lachema, ЧСФР) и систему растворителей изопропанол — гексан — вода, 80 : 60 : 1 (50 мкл/мин); МЭМК, их ацетаты и все тритильные производные хроматографировали в системе гексан — этанол, 9925 : 75 (30 мкл/мин). Сахара анализировали на аминопропилированном силикагеле Silasorb-NH<sub>2</sub>, 5 мкм (Lachema) в системе MeCN — вода, 85 : 15 (30 мкл/мин); метилгликозиды хроматографировали на липофильном силикагеле Silasorb C<sub>18</sub>, 5 мкм (Lachema), используя бидистиллированную воду в качестве подвижной фазы (30 мкл/мин). Вещества детектировали по оптической плотности элюата при 205 нм; при хроматографировании смесей, содержащих трифенилметановые производные, осуществлялось параллельное детектирование при 260 нм.

Стандартами при хроматографическом анализе служили свободные микровальные кислоты (V), МЭМК (Va), 6,6'-ди- и 6-моно-O-миколоил- $\alpha,\alpha$ -D-тргалоза (I) и (II), другие гликолипиды и фосфолипиды, выделенные ранее из *R. erythropolis* BKM Ac-1261 D (*M. paraffinicum* 134) [7—10], rac-1-O-тритилглицерин и 2-тритилоксистанол-1, синтезированные по известным методикам [39], а также коммерческие препараты углеводов, трифенилкарбинола и др.

Кислотный и щелочной метанолиз гликолипидов (I)—(III) проводили как описано ранее [7—10]. Однако липофильную фракцию каждого метанолизата перед спектрометрическим анализом хроматографировали на колонке с 5 г силикагеля L 40/100 (Lachema): 20 мл смеси гексан — эфир (9 : 1) элюировали малополярные примеси, в основном дегидратированные МЭМК, после чего смесью тех же растворителей в соотношении 4 : 1 вымывали индивидуальную фракцию МЭМК (Va).

Пер-O-ацетильные и пер-O-тридейтероацетильные производные гликолипидов получали обычным способом — обработкой гликолипидов смесью (1 : 1) пиридина и (CH<sub>3</sub>CO)<sub>2</sub>O или (C<sup>2</sup>H<sub>3</sub>CO)<sub>2</sub>O (20—22° C, 16—20 ч). Очистку производных осуществляли на колонке Sep-pak Si (Waters, США) в системе гексан — эфир, 97 : 3.

\* Везде указывается объемное соотношение растворителей.

Таблица 6

Хроматография ЖКЭС из *Rhodococcus* sp. на колонке с силикагелем SPH 300

Соотношение $\text{CHCl}_3\text{--MeOH}$ в элюенте	Фракции	Масса элюи- рованных липидов, мг	Состав элюиро- ванных липидов	$R_f$ в системе 6	$[\alpha]_D^{20}$ , град. (с)
99 : 1, 98 : 2	1—26	0	I	0,7	+38,2 (1,5)
97 : 3	27—36	44	I+III	0,7; 0,55	
97 : 3	37—39	2	III	0,55	+33,4 (1,5)
96 : 4, 95 : 5	40—58	36	III	0,55	
95 : 5	59—65	2	НЛ (2) *	0,5; 0,25	
94 : 6	66—75	4	НЛ (1)	0,45	+41,1 (0,4)
94 : 6, 93 : 7	76—99	3	НЛ (2) + II	0,35; 0,15; 0,4	
93 : 7, 92 : 8	100—111	52	II	0,4	+39,7 (1,8)
92 : 8, 91 : 9, 90 : 10	112—130	2	II + НЛ	0,4; 0,2	

\* НЛ — неидентифицированные липиды (число пятен при ТСХ).

Масс-спектры регистрировали на приборе Varian MAT 44 (США) при энергии ионизирующих электронов 70 эВ. ИК-спектры получали на спектрографе Perkin — Elmer 180 (США) в пленке вещества. УФ-спектры тритильных производных миколоильных эфиров регистрировали на спектрофотометре Hitachi 220 А (Япония) в изопропаноле, а тритиилпроизводных глицерина и этандиола — на хроматографе в процессе ВЭЖХ. Оптическое вращение измеряли на спектрополяриметре Polamat A (Carl Zeis Jena), ГДР) в  $\text{CHCl}_3$ .

*Выращивание культуры родококка.* Культуру *Rhodococcus* sp. (*M. rubrum* ВКМ В-874 var. 44) выращивали на жидкой синтетической среде следующего состава (вес. %): мочевина — 0,15,  $\text{Na}_2\text{HPO}_4$  — 0,4;  $\text{KH}_2\text{PO}_4$  — 0,3;  $\text{MgSO}_4$  — 0,1;  $\text{FeCl}_3$  —  $1 \cdot 10^{-4}$ ; тиамин —  $1 \cdot 10^{-6}$ ; глюкоза — 2,4; сахароза — 1,0; pH 7,2. Культивирование проводили в конических колбах емкостью 750 мл, содержащих по 100 мл среды, при встряхивании на круговой качалке (230 об./мин) при 30—37° С в течение 6 сут, клетки отделяли в стационарной фазе роста. Рост культуры контролировали по изменению оптического поглощения культуральной жидкости при 660 нм. По окончании ферментации клетки отделяли центрифугированием при 10 000  $\text{g}$  при 2—4° С, промывали дистиллированной водой и лиофильно высушивали до постоянного веса.

*Экстракция и предварительное фракционирование клеточных липидов.* Клеточные липиды (4,97 г) экстрагировали из 48 г сухих клеток смесью  $\text{CHCl}_3$  — MeOH (2 : 1 и 1 : 1) и освобождали от нелипидных примесей, пептидолипидов и большей части фосфолипидов путем реэкстракции гексаном [7]. Получали 2,91 г смеси липидов, которую хроматографировали на колонке (5 × 10 см), заполненной в  $\text{CHCl}_3$  силикагелем L с размером частиц 40—60 мкм. Смесью  $\text{CHCl}_3$  — MeOH, 99 : 1 (1500 мл), вымывали 2,05 г малополярных липидов, главным образом каротиноиды, воска, триацилглицерины, свободные микровые и обычные жирные кислоты. Затем 1400 мл смеси тех же растворителей в соотношении 9 : 1 элюировали 148 мг фракции ЖКЭС.

*Выделение гликолипидов (I)—(III).* Раствор 147 мг фракции ЖКЭС в 1,5 мл  $\text{CHCl}_3$  вносили в колонку (1 × 10 см), заполненную силикагелем SPH 300, 20 мкм (Lachema) в  $\text{CHCl}_3$ . Вымывали смесью  $\text{CHCl}_3$  — MeOH с соотношением 99 : 1, 98 : 2, 97 : 3... 90 : 10 (по 65 мл). Элюат собирали фракциями по 5 мл, которые анализировали при помощи ТСХ в системах 1, 4, 6 и 7. Близкие по составу фракции объединяли и упаривали досуха, остатки сушили 4—5 ч при 30° С/0,02 мм. Результаты хроматографии представлены в табл. 6. В ИК-спектрах гликолипидов (I)—(III) присутствовали полосы, характерные для микролипидов сахаров [5, 7—9, 25]: 3200—3350 ( $\nu_{\text{OH}}$ ), 1728—1732 ( $\nu_{\text{C=O}}$ )  $\text{cm}^{-1}$ .

*Кислотный гидролиз 6-O-микролипид- $\alpha,\alpha-D$ -трегалозы (II).* К перемешиваемой смеси 3 мл  $\text{CHCl}_3$ , 4 мл MeCN и 0,25 мл конц. HCl добавляли при 20° С раствор 4 мг мономикролипида трегалозы (II) в 0,5 мл  $\text{CHCl}_3$ . Смесь переме-

шивали 15 ч при 40° С, по охлаждении разбавляли 15 мл CHCl<sub>3</sub>, промывали водой ( $3 \times 7$  мл) и упаривали досуха. В остатке при помощи ТСХ в системах 4, 6 и 7, а также методом ВЭЖХ обнаруживали микролоат глюкозы (III), мономикролоат трегалозы (II) и свободные микровые кислоты (V) в мольном отношении 10: 2 : 3 (по данным ВЭЖХ). Водную фазу нейтрализовали дауэксом 1 × 8 (HCO<sub>3</sub><sup>-</sup>) и упаривали досуха. В остатке при помощи ВЭЖХ идентифицировали глюкозу и трегалозу в мольном отношении 10 : 1.

*Ферментативный гидролиз гликоглипидов (I)–(III)* осуществляли по ранее описанной методике [27], используя панкреатическую липазу свиньи (КФ 3.1.1.3; ICN, США) с активностью 1600 МЕ/мг белка. Свободные микровые кислоты (V) превращали в МЭМК (Va) действием избытка CH<sub>2</sub>N<sub>2</sub> в эфире и анализировали без предварительной очистки. Для МЭМК (Va): R<sub>f</sub> 0,25 (система 1), 0,5 (5); [α]<sub>D</sub><sup>20</sup> +2,1° (с 11); ИК-спектр: 3320 (v<sub>OH</sub>), 1731 (v<sub>C=O</sub>) см<sup>-1</sup>.

Для получения соответствующих тридайтерометиловых эфиров (d<sub>3</sub>-Va) 0,5–1,0 мг свободных кислот (V) растворяли в 0,5 мл C<sup>2</sup>H<sub>3</sub>O<sup>2</sup>H, раствор обрабатывали избытком C<sup>2</sup>H<sub>2</sub>N<sub>2</sub> в эфире [40] и смесь упаривали.

*Разделение МЭМК (Va) по степени насыщенности.* Фракцию МЭМК (Va) (5 мг), полученную при деградации гликоглиптида (I, II или III), ацетилировали смесью 0,1 мл Ac<sub>2</sub>O и 0,1 мл пиридин (20° С, 10 ч). Ацетильные производные (Vb) без предварительной очистки подвергали ТСХ на пластинке (10 × 20 см) с силикагелем G (слой 0,2 мм), содержащим 10% AgNO<sub>3</sub>. Хроматограмму проявляли в системе 1, опрыскивали 0,2%-ным раствором родамина 6G в MeOH и сушили 15 мин при 20° С/20 мм. Зоны субфракций насыщенных (R<sub>f</sub> 0,9), моноеновых (R<sub>f</sub> 0,7) и диеновых (R<sub>f</sub> 0,3) соединений обнаруживали в УФ-свете и снимали с пластинки. Указанные субфракции элюировали с сорбента смесью CHCl<sub>3</sub> — MeOH, 9 : 1, освобождали от индикатора путем распределения между гексаном и водой [8] и анализировали методами ВЭЖХ (количественное определение) и масс-спектрометрии.

*Определение положения двойной связи в моноеновых микровых кислотах.* Субфракцию ацетильных производных моноеновых МЭМК (Vb') (3 мг) растворяли в 0,2 мл смеси диоксан — пиридин (4 : 1), к раствору добавляли при 20° С раствор 8 мг OsO<sub>4</sub> в 0,3 мл диоксана, смесь оставляли на 2 ч при той же температуре, после чего в нее пропускали газообразный H<sub>2</sub>S. Осадок отделяли центрифугированием при 6000g и промывали 0,5 мл диоксана с последующим центрифугированием. Объединенную надосадочную жидкость упаривали досуха, остаток подвергали щелочному метанолизу по общей методике, получали тригидроксиэфир (VI), R<sub>f</sub> 0,25 (система 2), который давал положительную реакцию с периодатом — реактивом Шиффа на хроматограмме.

Тригидроксиэфир (VI) превращали в триметилсилильное производное (VIa) действием Me<sub>3</sub>SiCl и (Me<sub>3</sub>Si)<sub>2</sub>NH в пиридине в обычных условиях и анализировали методом масс-спектрометрии.

*Деградация по Смиту 6-O-микролоил-D-глюкопиранозы (III).* К раствору 5 мг микролоата глюкозы (III) в 0,5 мл смеси MeOH—CHCl<sub>3</sub>, 5 : 1, добавляли при 20° С при интенсивном перемешивании 1 мл 0,1 М раствора NaIO<sub>4</sub> в воде и смесь перемешивали при той же температуре 10 ч, после чего к ней добавляли 0,1 мл 10%-ного раствора этандиола в MeOH и перемешивание продолжали еще 20 мин. Затем к смеси добавляли 3 мл CHCl<sub>3</sub>, нижнюю фазу отделяли, промывали 1 мл воды и упаривали до объема ~0,2 мл. Остаток разбавляли 0,2 мл смеси MeOH — CHCl<sub>3</sub>, 2 : 1, обрабатывали при 2–4° С раствором 15 мг NaBH<sub>4</sub> в 1 мл MeOH, смесь оставляли на 4 ч при 20° С, после чего к ней добавляли 3 капли AcOH и через 15 мин 4 н. HCl до pH 1. Смесь перемешивали 3 ч при 20° С, разбавляли 3 мл CHCl<sub>3</sub>, промывали водой ( $3 \times 1$  мл) и упаривали досуха. Получали 3 мг 1-O-микролоил-sn-глицерина (VII); R<sub>f</sub> 0,35 (система 3).

К раствору 3 мг микролоилглицерина (VII) в 0,1 мл пиридина добавляли при 5° С раствор 6 мг Ph<sub>3</sub>CCl в 0,2 мл пиридина. Смесь выдерживали 12 ч при той же температуре, затем 12 ч при 20° С, разбавляли 3 мл CHCl<sub>3</sub>, промывали водой ( $4 \times 1$  мл) и упаривали досуха. Остаток растворяли

в 0,3 мл гексана и раствор вносили в колонку, заполненную 1 г силикагеля L 40/100 в гексане. Смесь гексан — эфир, 98 : 2 (10 мл), вымывали  $\text{Ph}_3\text{COH}$ , после чего 10 мл смеси гексан — эфир, 4 : 1, элюировали 3 мг 3-О-тритил-1-О-миколоил-sn-глицерина (VIII);  $R_f$  0,3 (система 1); УФ-спектр:  $\lambda_{\max}$  260 нм ( $\varepsilon$  950). Последний подвергали щелочному метанолизу по общей методике. Продукты метанолиза идентифицировали как МЭМК(Va) и 3-О-тритилглицерин (IX) при помощи ТСХ и ВЭЖХ. Для тритилглицерина (IX):  $R_f$  0,1 (система 1), 0,35 (5); УФ-спектр:  $\lambda_{\max}$  258 нм.

**Восстановление 6-О-миколоил-D-глюкопиранозы (III).** К раствору 3 мг миколоата глюкозы (III) в 0,1 мл смеси  $\text{MeOH} - \text{CHCl}_3$ , 5 : 1, добавляли при 0° С раствор 10 мг  $\text{NaBH}_4$  в 0,5 мл  $\text{MeOH}$ . Смесь оставляли на 3 ч при той же температуре, затем разбавляли 1 мл  $\text{MeOH}$ , обрабатывали избытком дауэksa 50W × 8 ( $\text{H}^+$ ), катионит отфильтровывали, промывали на фильтре 1 мл  $\text{MeOH}$ , объединенный фильтрат упаривали досуха. Для удаления борной кислоты остаток растворяли в 1 мл  $\text{MeOH}$  и раствор упаривали досуха, эту операцию повторяли еще дважды. Получали 3 мг 6-О-миколоил-D-сорбита (X);  $R_f$  0,15 (система 6), 0,75 (7), 0,6 ( $\text{CHCl}_3 - \text{MeOH}$ , 7 : 3).

**Деградацию 6-О-миколоил-D-сорбита (X) по Смиту** осуществляли так же, как это описано для 6-О-миколоил-D-глюкопиранозы (III), за исключением того, что для удаления избытка  $\text{NaIO}_4$  применяли пропандиол-1,2, а кислотный гидролиз продуктов боргидридного восстановления не проводили. Получали 2-миколоилоксистанол (XI);  $R_f$  0,2 (система 2). В результате тритилирования последнего и хроматографии продуктов реакции по вышеописанным методикам получили 2-миколоилокси-1-тритилоксистан (XII);  $R_f$  0,75 (система 1); УФ-спектр:  $\lambda_{\max}$  260 нм ( $\varepsilon$  925).

Тритильное производное (XII) подвергали щелочному метанолизу по общей методике. Продукты метанолиза идентифицировали как МЭМК (Va) и 2-тритилоксистанол (XIII) при помощи ВЭЖХ и ТСХ. Для тритилоксистанола (XIII):  $R_f$  0,45 (система 1), 0,7 (5); УФ-спектр:  $\lambda_{\max}$  259 нм.

**Регистрация дыхания митохондрий.** Митохондрии печени крыс линии Вистар выделяли, хранили и анализировали на содержание белка как описано ранее [41]. Дыхание митохондрий регистрировали полярографическим методом [42] в терmostатированной кювете объемом 1 мл при перемешивании при 25° С в инкубационной среде следующего состава (мМ):  $\text{KCl}$  — 50,  $\text{KH}_2\text{PO}_4$  — 3, трис- $\text{HCl}$  — 10, сахароза — 150; pH 7,5. В инкубационную среду, помещенную в кювету и содержащую субстрат (4 мМ малат и 4 мМ пируват или 4 мМ сукцинат с 1 мМ ротеноном), вносили 20—100 мкл супензии митохондрий (60—80 мг белка/мл). ЖКЭС (I—III) вводили в виде водных супензий (3—5 мг/мл), приготовленных ранее описанным способом [36]. При измерении  $V_3$  добавляли ADP до 0,2 мМ концентрации, а для разобщения дыхания добавляли DNP до 0,1 мМ концентрации.

#### СПИСОК ЛИТЕРАТУРЫ

1. Ioneda T., Niigaki N. I., Edson T. A., Levy C. E. // Rev. Microbiol. 1989. V. 20. № 3. P. 345—348.
2. Батраков С. Г. // Химия природ. соединений. 1985. Т. 2. С. 147—172.
3. Verma J. N., Khuller G. K. // Adv. Lipid Res. 1983. V. 20. P. 257—316.
4. Minnikin D. E. // The Biology of Mycobacteria. V. 1 / Eds Ratledge C., Stanford J. London, New York: Acad. Press, 1982. P. 95—184.
5. Asselineau C., Asselineau J. // Progr. Chem. Fats and other Lipids. 1978. V. 16. P. 59—99.
6. Ioneda T., Silva C. L., Gesztesi J.-L. // Actinomycetes / Eds Schaal K. P., Pulverer G. Stuttgart, New York: G. Fischer, 1981. P. 401—406.
7. Batrakov S. G., Rozynov B. V., Koronelli T. V., Bergelson L. D. // Chem. and Phys. Lipids. 1981. V. 29. № 3. P. 241—266.
8. Батраков С. Г., Садовская В. Л., Розынов Б. В., Коронелли Т. В., Бергельсон Л. Д. // Биоорган. химия. 1978. Т. 4. № 5. С. 667—681.
9. Батраков С. Г., Мухитдинова О. А., Коронелли Т. В., Бергельсон Л. Д. // Биоорган. химия. 1979. Т. 5. № 1. С. 83—91.
10. Батраков С. Г., Муратов В. Б., Розынов Б. В., Бергельсон Л. Д., Коронелли Т. В. // Биоорган. химия. 1981. Т. 7. № 7. С. 1087—1099.
11. Koronelli T. V. // J. Chromatogr. 1988. V. 440. P. 479—486.

12. Rapp P., Bock H., Wray V., Wagner F. // J. Gen. Microbiol. 1979. V. 115. № 2. P. 491—503.
13. Kretschmer A., Bock H., Wagner F. // Appl. and Environm. Microbiol. 1982. V. 44. № 4. P. 864—870.
14. Sawai H., Sumi Y., Kurano S., Gondaira S., Kato Y., Tomiyasu I., Imaizumi S., Kaneda K., Yano I. // Якугаку дзасси = J. Pharm. Soc. Jap. 1987. V. 107. № 1. P. 37—45.
15. Kurano S., Sugimoto N., Sumi Y., Sawai H., Kato Y., Kaneda K., Yano I. // Якугаку дзасси = J. Pharm. Soc. Jap. 1987. V. 107. № 1. P. 46—52.
16. Brennan P. J., Lehane D. P., Thomas D. W. // Eur. J. Biochem. 1970. V. 13. № 1. P. 117—123.
17. Jones D., Collins M. D. // Bergey's Manual of Systematic Bacteriology. 9th ed./ Eds Krieg N. R., Holt J. G. Baltimore: Williams and Wilkins, 1984. P. 1435—1457.
18. Li Zu-Yi, Lang S., Wagner F., Witte L., Wray V. // Appl. and Environm. Microbiol. 1984. V. 48. № 3. P. 610—617.
19. Okazaki H., Sugino H., Kanzaki T., Fukuda H. // Agr. and. Biol. Chem. 1969. V. 33. № 5. P. 764—770.
20. Asselineau J., Durand E., Lanéelle G., Rouanet J.-M., Tocanne J.-F. // Actinomycetes / Eds Schall K. P., Pulverer G. Stuttgart: G. Fischer, 1981. P. 391—400.
21. Kato M., Asselineau J. // Eur. J. Biochem. 1971. V. 22. № 2. P. 364—370.
22. Asselineau J., Kato M. // Biochimie. 1973. T. 55. № 5. P. 559—568.
23. Durand E., Gillois M., Tocanne J.-F., Lanéelle G. // Eur. J. Biochem. 1979. V. 94. № 1. P. 109—118.
24. Etémedi A. H. // Chem. and Phys. Lipids. 1967. V. 4. № 2. P. 165—175.
25. Goren M. B., Dhariwal K. R., Jenkins I. D. // J. Chromatogr. 1988. V. 440. P. 487—498.
26. Baba T., Kaneda K., Kusunose E., Kusunose M., Yano I. // Lipids. 1988. V. 23. № 12. P. 1132—1138.
27. Гордеев К. Ю., Моргурова В. Н., Дараселия Г. Я., Батраков С. Г. // Биоорган. химия. 1991. Т. 17. № 4. С. 574—576.
28. Bordet C., Michel G. // Bull. Soc. chim. biol. 1969. V. 51. № 3. P. 527—548.
29. Maurice M. T., Vacheron M. J., Michel G. // Chem. and Phys. Lipids. 1971. V. 7. № 1. P. 9—18.
30. Argoudelis C. J., Perkins E. G. // Lipids. 1968. V. 3. № 4. P. 379—381.
31. Minnikin D. E., Goodfellow M. // Microbiological Classification and Identification / Eds Goodfellow M., Board R. G. London: Acad. Press, 1980. P. 189—256.
32. Adam A., Senn M., Vilkas E., Lederer E. // Eur. J. Biochem. 1967. V. 2. № 4. P. 460—468.
33. Karlsson K.-A., Leffler H., Samuelsson B. E. // Biochim. et biophys. acta. 1979. V. 574. № 1. P. 79—93.
34. Ненашев В. А., Гордеев К. Ю., Дараселия Г. Я., Буадзе М. О., Проневич Л. А., Батраков С. Г. // Бактериальные токсины. 2-я Всесоюз. конф. Юрмала, 27—30 нояб. 1989. Тез. докл. С. 92.
35. Kato M. // Arch. Biochem. and Biophys. 1970. V. 140. № 2. P. 379—390.
36. Kato M. // J. Bacteriol. 1971. V. 107. № 3. P. 746—752.
37. Skulachev V. P., Sharaf A. A., Yaguzinsky L. S., Jasaitis A. A., Liberman E. A., Topali V. P. // Curr. Modern. Biol. 1968. V. 2. P. 98—105.
38. Кирхиер Ю. Тонкослойная хроматография. М.: Мир, 1981. Т. 1. С. 221—286.
39. Van der Neut J. H., Uhlenbreek J. H., Verkade P. E. // Rec. Trav. Chim. Pays-Bas. 1953. V. 72. P. 365—371.
40. Батраков С. Г., Придачина Н. Н., Кругляк Е. Б., Новогрудская Е. Д., Чекасина Е. В. // Биоорган. химия. 1981. Т. 7. № 4. С. 574—585.
41. Ненашев В. А., Придачина Н. Н., Проневич Л. А., Батраков С. Г. // Биохимия. 1989. Т. 54. № 5. С. 784—787.
42. Кондрашова М. Н., Николаева Л. В., Чистяков В. В., Калиниченко Л. П. Руководство по изучению биологического окисления полярографическим методом. М.: Наука, 1973. С. 50—59.

Поступила в редакцию  
22.XI.1990

K. Yu. GORDEEV, V. A. NENASHEV, V. N. MORGUNOVA, N. V. DEMIDOVA,  
T. A. TSOTSORIYA \*, G. Ya. DARASELIYA \*, S. G. BATRAKOV

GLUCOSE AND TREHALOSE MYCOLATES OF A *RHODOCOCCUS* SP.  
STRAIN: ISOLATION, STRUCTURE AND EFFECT ON MITOCHONDRIAL  
RESPIRATION

Research Laboratory of Biologically Active Substances of Hydrobionts, Ministry of Public  
Health of the USSR, Moscow;

\*Institute of Biochemistry of Plants, Academy of Sciences of the Republic Georgia, Tbilisi

The cell lipids of *Rhodococcus* sp. (*Mycobacterium rubrum* VKM V-874 var. 44) contain a fraction of acylated sugars consisting of 6,6'-di- and 6-mono-O-mycoloyl- $\alpha,\alpha$ -D-trehaloses and 6-O-mycoloyl-D-glucopyranose. At the stationary growth phase they account for 1.4, 11.4 and 5.7%, respectively, of the total extractable lipids. Among the mycoloyl residues of these glycolipids, predominant molecular species have 40, 42, 44 and 46 carbon atoms, saturated C<sub>10</sub>, C<sub>12</sub> and C<sub>14</sub> side  $\alpha$ -chains and a double bond located in the main chain at 9th, 11th, 13th, 15th or 17th carbon atom from the terminal methyl group. All the glycolipids affect electron transport in mitochondria *in vitro*, which is manifested in decoupling oxidation from phosphorylation, retarding mitochondrial respiration in the presence of NADH-linked substrates but accelerating it in the presence of succinate (with rotenone) without of phosphoryl acceptor, as well as in loss of the respiratory control. In this respect 6-O-mycoloyl-D-glucopyranose differs substantially from the related methyl glycosides previously studied by other authors.